

# Transport en milieu poreux Elements Finis Discontinus

J. Erhel - INRIA-RENNES

Thèse de H. Hoteit

Chaire UNESCO - Calcul numérique intensif

TUNIS - Mars 2004

# Transport en milieu poreux

Convection-diffusion, Conditions aux limites

$$\frac{\partial C}{\partial t} = \underbrace{\nabla \cdot (D \cdot \nabla C)}_{\text{diffusion}} - \underbrace{\nabla \cdot (Cu)}_{\text{convection}} \quad \text{sur} \quad \Omega \times (0, T),$$

$$C(x, 0) = C_0(x) \quad \text{sur} \quad \Omega,$$

$$C(x, t) = C^D(x, t) \quad \text{sur} \quad \Gamma^D \times (0, T),$$

$$\frac{\partial C(x, t)}{\partial n} = Q^N(x, t) \quad \text{sur} \quad \Gamma^N \times (0, T),$$

où

$C$  : Concentration en soluté

$u$  : vitesse de Darcy

$D$  : tenseur de diffusion/dispersion

# Discrétisation spatiale du terme convectif

## Éléments finis discontinus

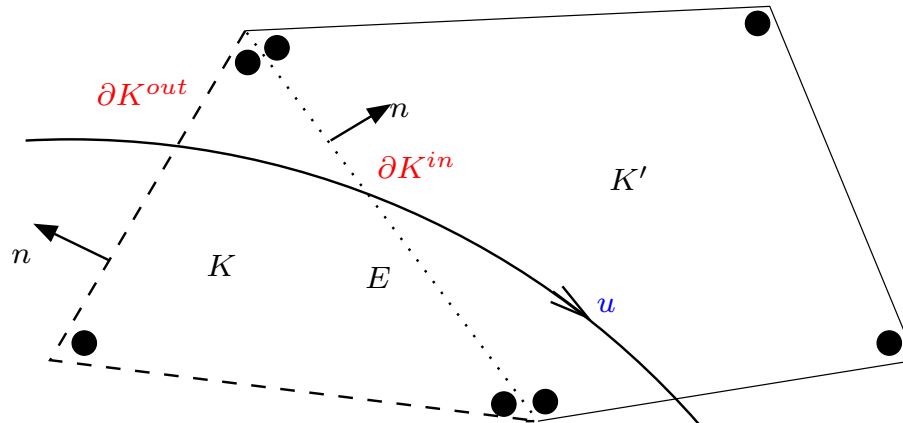
- la masse est conservée localement
- les fronts et les discontinuités sont bien capturés
- faible dispersion numérique
- maillages non structurés en 2D ou 3D
- calculs locaux, pas de système linéaire global.

# Eléments Finis Discontinus

Espace d'approximation

$$V_h = \{v \in L^\infty(\Omega) : v_h|_K \in V(K), \forall K \in \mathcal{T}_h\},$$

où  $V(K)$  est l'espace des fonctions linéaires (resp. bilinéaires) sur  $K$  si  $K$  est un triangle (resp. quadrangle).



Degrés de liberté avec les interfaces selon les flux

# Eléments Finis Discontinus

L'approximation  $C_h$  de  $C$  est exprimée par :

$$C_h(x, t) \equiv C_h(x, t)|_K = \sum_{j=1}^{\mathcal{N}_K} C_{K,j}(t) \varphi_{K,j}(x) \quad K \in \mathcal{T}_h.$$

Trouver  $C_h|_K \in V(K)$ ,  $K \in \mathcal{T}_h$  tel que :

$$\sum_{j=1}^{\mathcal{N}_K} \frac{dC_{K,j}}{dt} \int_K \varphi_{K,i} \varphi_{K,j} dx = - \sum_{j=1}^{\mathcal{N}_K} \left( C_{K,j} \int_K \varphi_{K,j} u \cdot \nabla \varphi_{K,i} dx \right. \\ \left. + C_{K,j}^{in} \int_{\partial K^{in}} \varphi_{K,i} \varphi_{K,j} u \cdot n dl + C_{K,j}^{out} \int_{\partial K^{out}} \varphi_{K,i} \varphi_{K,j} u \cdot n dl \right) \quad i = 1, \mathcal{N}_K$$

# Discrétisation temporelle

La méthode des EFD conduit à résoudre sur chaque  $K$ , le système :

$$\frac{dC_K}{dt} = \mathcal{A}(C_K^{in}, C_K^{out}), \quad C_K = \{C_{K,i}\}_{i=1,\dots,\mathcal{N}_K}$$

## Discrétisation temporelle

1. Calcul de  $\tilde{C}_K^{n+1}$  en résolvant les systèmes :

$$\tilde{C}_K^{n+1} = C_K^n + \Delta t \mathcal{A}(C_K^{in,n}, C_K^{out,n}), \quad \forall K \in \mathcal{T}_h.$$

2. Calcul de  $C_K^{n+1}$  en stabilisant la solution  $\tilde{C}_K^{n+1}$  :

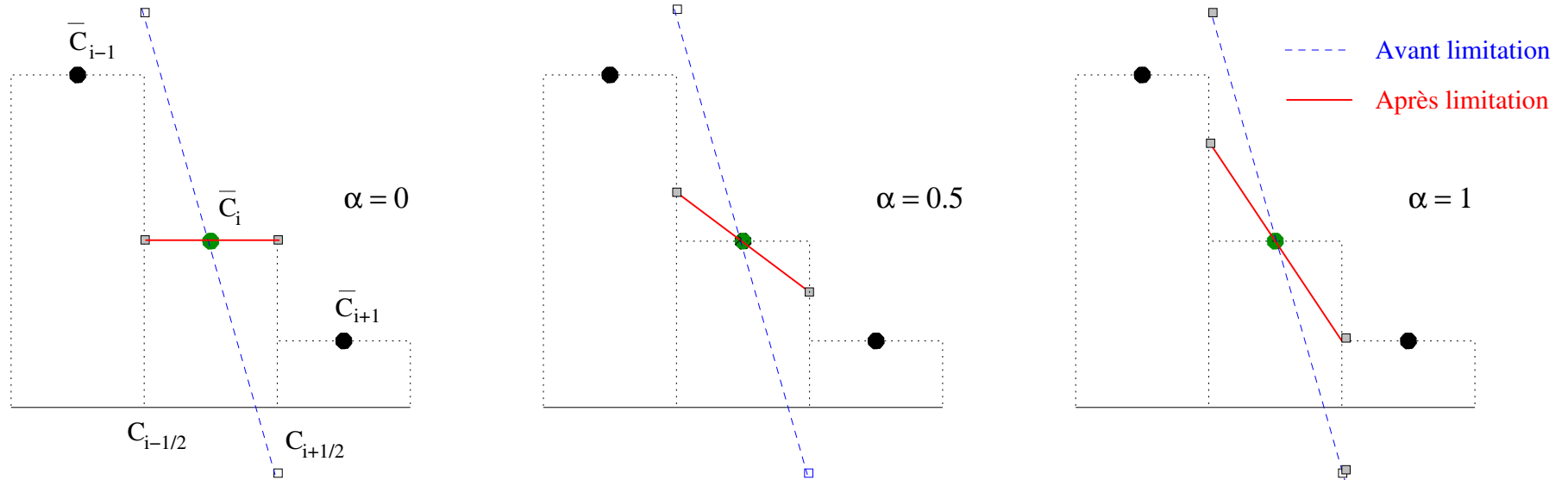
$$C_K^{n+1} = \mathcal{L}(\tilde{C}_K^{n+1}), \quad \forall K \in \mathcal{T}_h.$$

où  $\tilde{C}_K^{n+1}$  sont les concentrations avant la reconstruction.

L'opérateur  $\mathcal{L}$  est le limiteur de pente.

# Limitation de pente

La méthode EFD est inconditionnellement instable sans limitation  
(sans ,avec ) :



# Limitation de pente



# Limitation de pente

Trouver  $C_i = (C_{i-1/2}, C_{i+1/2}) = \mathcal{L}(\tilde{C}_i)$  tel que

1. Conservation de la masse,  $\bar{C}_i = \frac{1}{2}(C_{i-1/2} + C_{i+1/2})$ .

# Limitation de pente

Trouver  $C_i = (C_{i-1/2}, C_{i+1/2}) = \mathcal{L}(\tilde{C}_i)$  tel que

1. Conservation de la masse,  $\bar{C}_i = \frac{1}{2}(C_{i-1/2} + C_{i+1/2})$ .

2. Interdiction de minimum ou maximum locaux,

$\forall \alpha \in [0, 1]$  :

$$(1 - \alpha)\bar{C}_i + \alpha \min(\bar{C}_{i-1}, \bar{C}_i) \leq C_{i-1/2} \leq (1 - \alpha)\bar{C}_i + \alpha \max(\bar{C}_{i-1}, \bar{C}_i)$$

$$(1 - \alpha)\bar{C}_i + \alpha \min(\bar{C}_i, \bar{C}_{i+1}) \leq C_{i+1/2} \leq (1 - \alpha)\bar{C}_i + \alpha \max(\bar{C}_i, \bar{C}_{i+1}).$$

# Limitation de pente

Trouver  $C_i = (C_{i-1/2}, C_{i+1/2}) = \mathcal{L}(\tilde{C}_i)$  tel que

1. Conservation de la masse,  $\bar{C}_i = \frac{1}{2}(C_{i-1/2} + C_{i+1/2})$ .

2. Interdiction de minimum ou maximum locaux,

$\forall \alpha \in [0, 1]$  :

$$(1 - \alpha)\bar{C}_i + \alpha \min(\bar{C}_{i-1}, \bar{C}_i) \leq C_{i-1/2} \leq (1 - \alpha)\bar{C}_i + \alpha \max(\bar{C}_{i-1}, \bar{C}_i)$$

$$(1 - \alpha)\bar{C}_i + \alpha \min(\bar{C}_i, \bar{C}_{i+1}) \leq C_{i+1/2} \leq (1 - \alpha)\bar{C}_i + \alpha \max(\bar{C}_i, \bar{C}_{i+1}).$$

3. Modification minimale des pentes :

$\|C_i - \tilde{C}_i\|_2$  est minimal.

# Limitation de pente

Ce limiteur peut aussi être réécrit en utilisant une autre forme plus courante :

$$C_{i-1/2} = \bar{C}_i - \mathcal{M} \left( \bar{C}_i - \tilde{C}_{i-1/2}, \alpha(\bar{C}_i - \bar{C}_{i-1}), \alpha(\bar{C}_{i+1} - \bar{C}_i) \right),$$
$$C_{i+1/2} = \bar{C}_i + \mathcal{M} \left( \tilde{C}_{i+1/2} - \bar{C}_i, \alpha(\bar{C}_i - \bar{C}_{i-1}), \alpha(\bar{C}_{i+1} - \bar{C}_i) \right).$$

où  $\mathcal{M}$  est la fonction *minmod*, définie par :

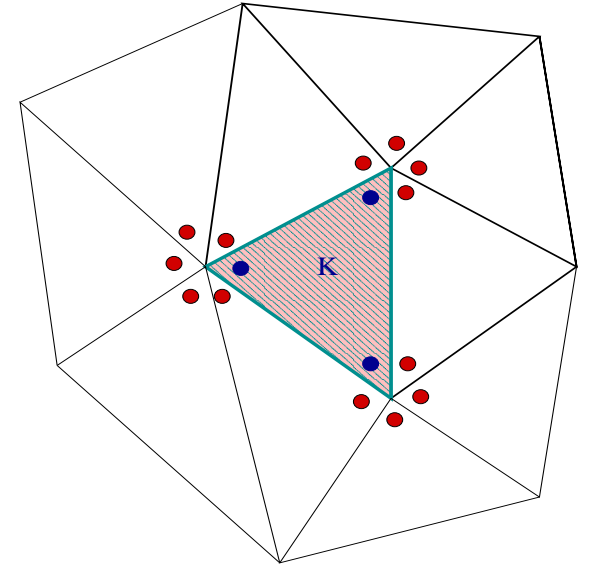
$$\mathcal{M}(a_1, a_2, a_3) = \begin{cases} s \min_{1 \leq i \leq 3} |a_i| & \text{si } s = \text{sign}(a_1) = \text{sign}(a_2) = \text{sign}(a_3), \\ 0 & \text{ailleurs.} \end{cases}$$

# Limiteur de pente multidimensionnel

Ce limiteur est introduit par Chavent et Jaffré (1986).

On définit les notations suivantes:

$$C_K = \{C_{K,i}\}_{i=1,\dots,\mathcal{N}_K}, \quad \bar{C}_K = \frac{1}{|K_i|} \int_K C_h dx,$$



# Limiteur de pente multidimensionnel

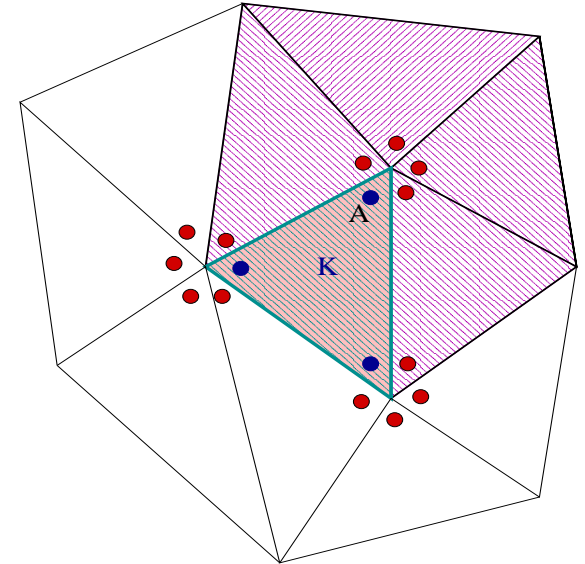
Ce limiteur est introduit par Chavent et Jaffré (1986).

On définit les notations suivantes:

$$C_K = \{C_{K,i}\}_{i=1,\dots,\mathcal{N}_K}, \quad \bar{C}_K = \frac{1}{|K_i|} \int_K C_h dx,$$

$$T(A) = \{K \in \mathcal{T}_h \mid A \text{ est un sommet de } K\},$$

$$\bar{C}_{\min,i} = \min_{K \in T(A_i)} \bar{C}_K, \quad \bar{C}_{\max,i} = \max_{K \in T(A_i)} \bar{C}_K.$$



# Limiteur de pente multidimensionnel

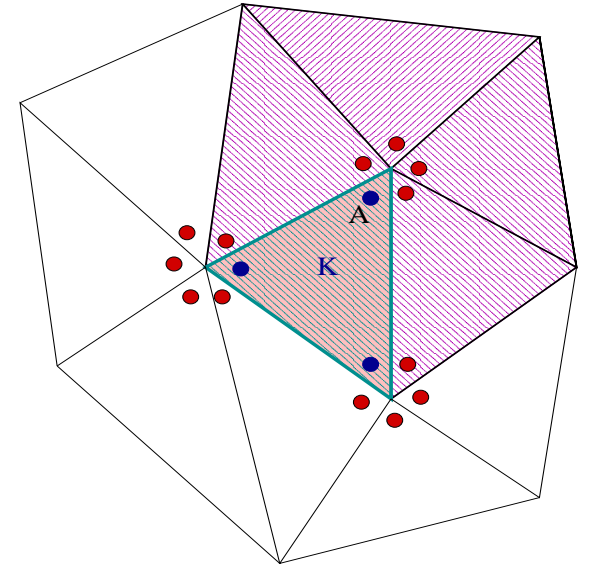
Ce limiteur est introduit par Chavent et Jaffré (1986).

On définit les notations suivantes:

$$C_K = \{C_{K,i}\}_{i=1,\dots,\mathcal{N}_K}, \quad \bar{C}_K = \frac{1}{|K_i|} \int_K C_h dx,$$

$$T(A) = \{K \in \mathcal{T}_h \mid A \text{ est un sommet de } K\},$$

$$\bar{C}_{\min,i} = \min_{K \in T(A_i)} \bar{C}_K, \quad \bar{C}_{\max,i} = \max_{K \in T(A_i)} \bar{C}_K.$$



$C_K = \mathcal{L}(\tilde{C}_K)$  est la solution du problème suivant :

$$\min_{W \in \mathbb{R}^{\mathcal{N}_K}} \|W - \tilde{C}_K\|_2, \quad \text{satisfaisant les contraintes :}$$

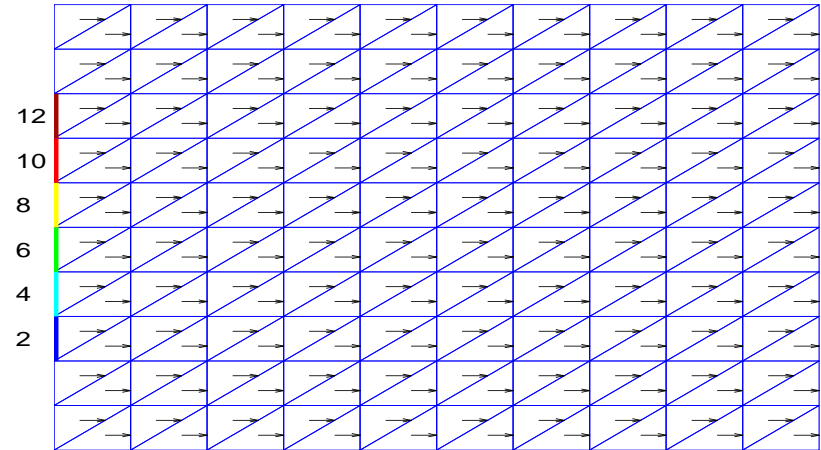
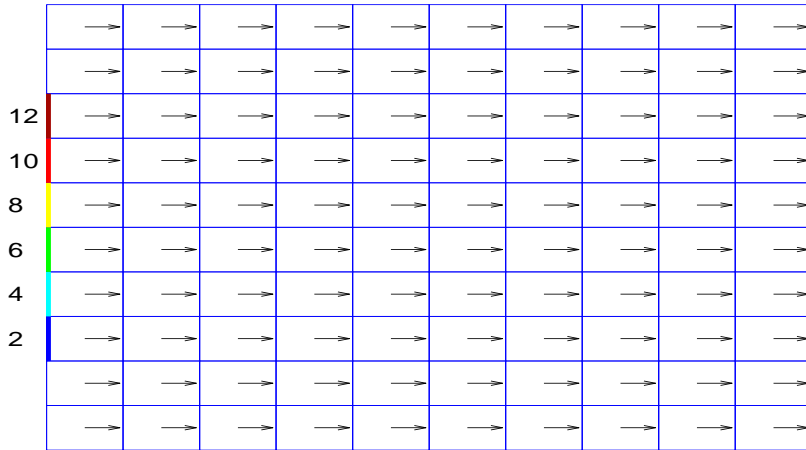
$$\bar{W} = \frac{1}{\mathcal{N}_K} \sum_{j=1}^{\mathcal{N}_K} w_j = \bar{C}_K,$$

$$(1 - \alpha)\bar{C}_K + \alpha\bar{C}_{\min,i} \leq w_i \leq (1 - \alpha)\bar{C}_K + \alpha\bar{C}_{\max,i},$$

$$0 \leq \alpha \leq 1, \quad i = 1, \dots, \mathcal{N}_K.$$

# Expérience numérique

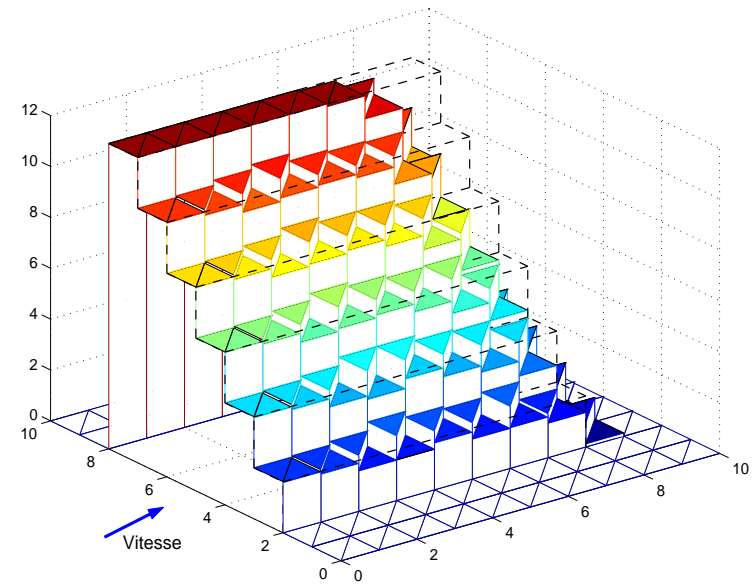
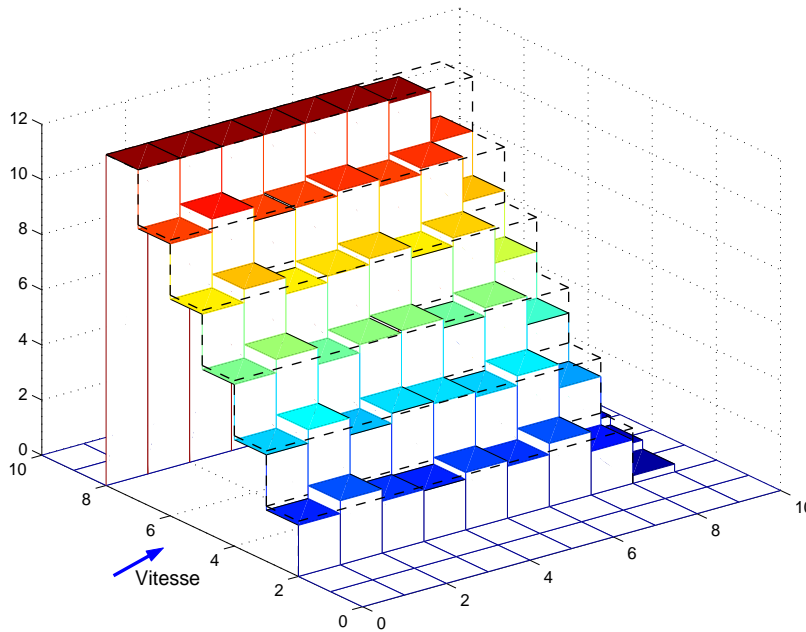
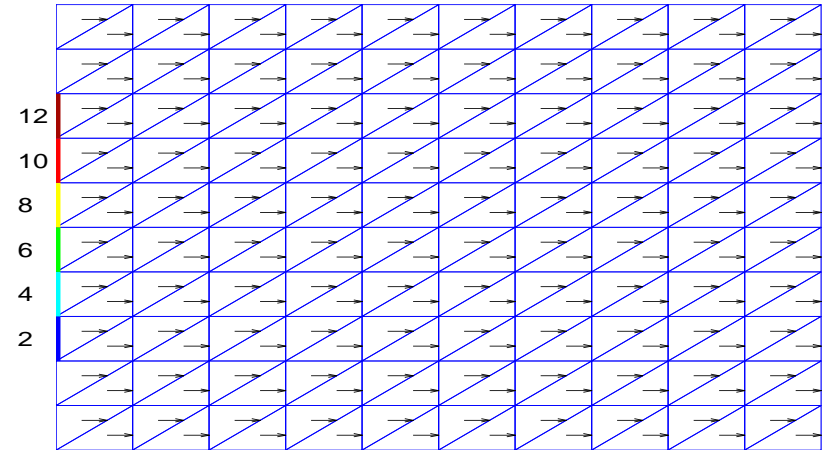
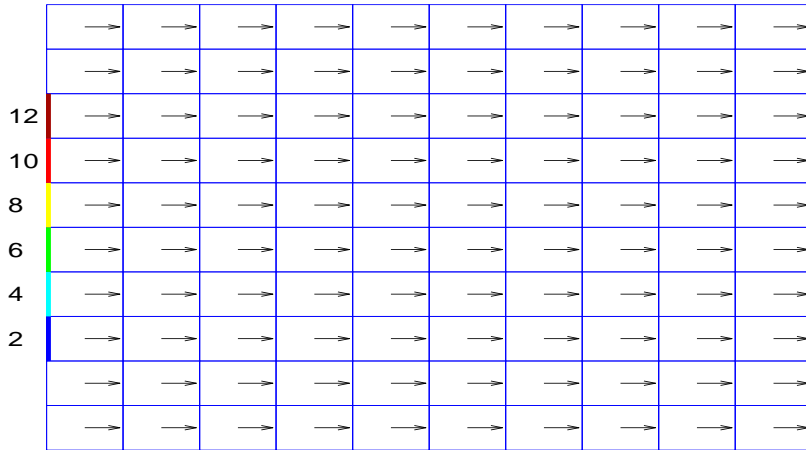
$\Omega = ]0, 10[ \times ]0, 10[$ ,  $u = (0, 1)$





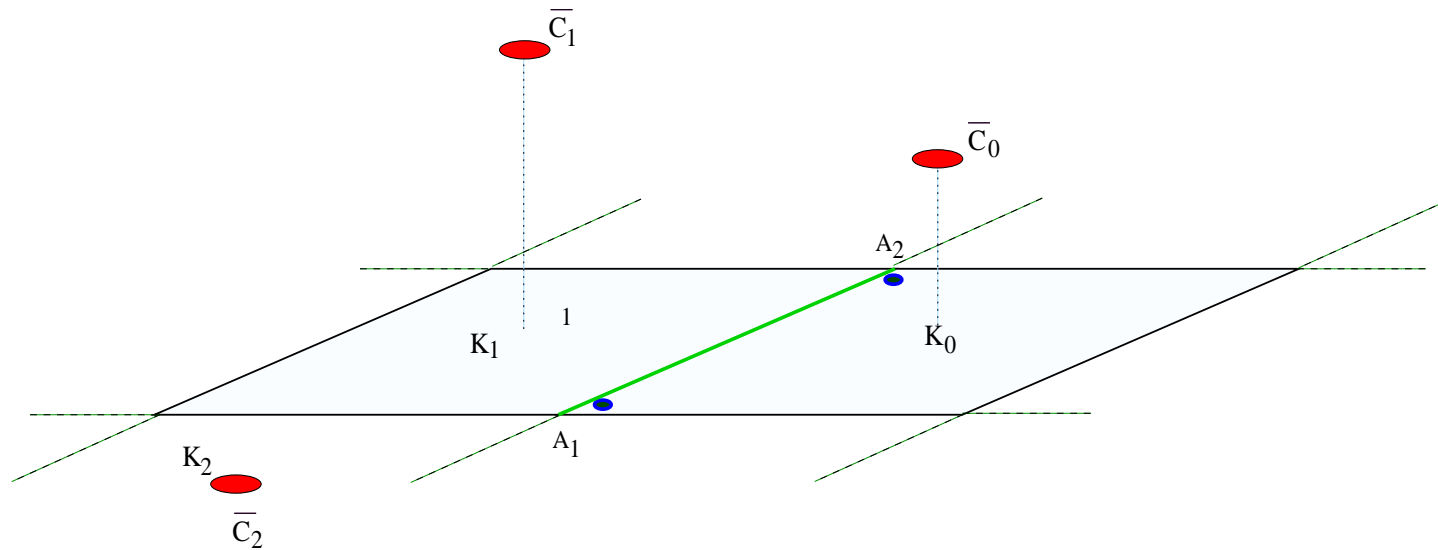
# Expérience numérique

$$\Omega = ]0, 10[ \times ]0, 10[, \quad u = (0, 1)$$



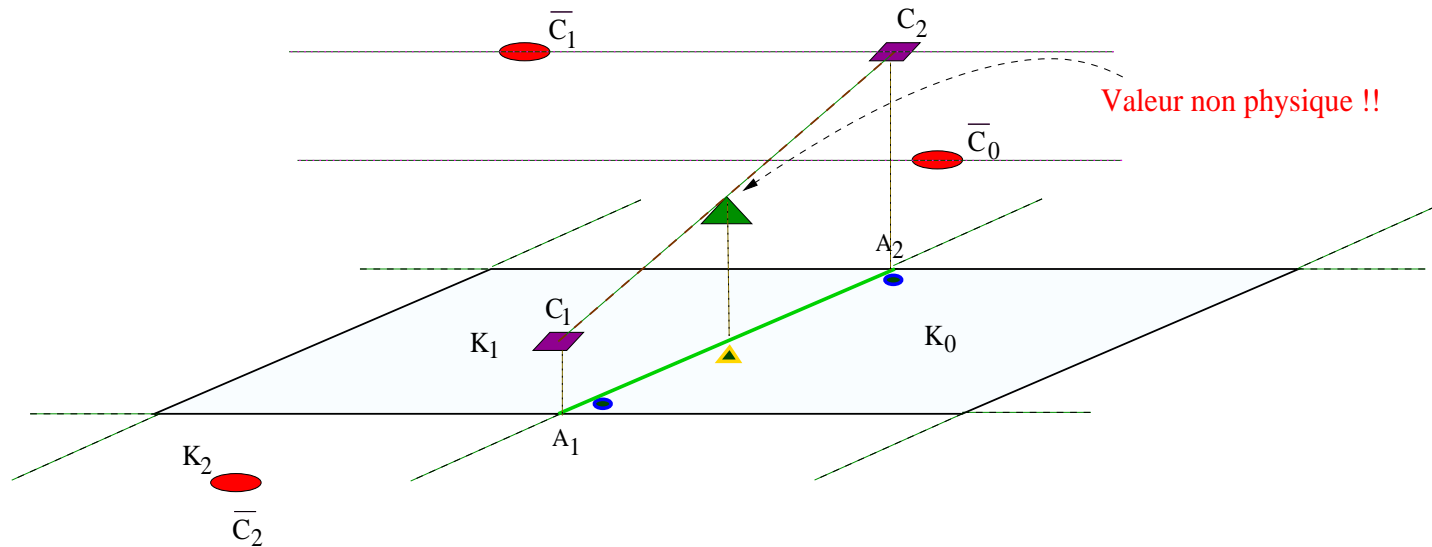
# Source du problème

Le limiteur n'empêche pas de produire de **nouveaux extréma** aux milieux des arêtes !



# Source du problème

Le limiteur n'empêche pas de produire de **nouveaux extréma** aux milieux des arêtes !



Le flux convectif à travers  $E = K_0 \cap K_1$  est défini par:

$$Q_c(E) = u \cdot n \left( \underbrace{\frac{1}{|E|} \int_E C \, d\ell}_{\bar{C}_E} \right)$$

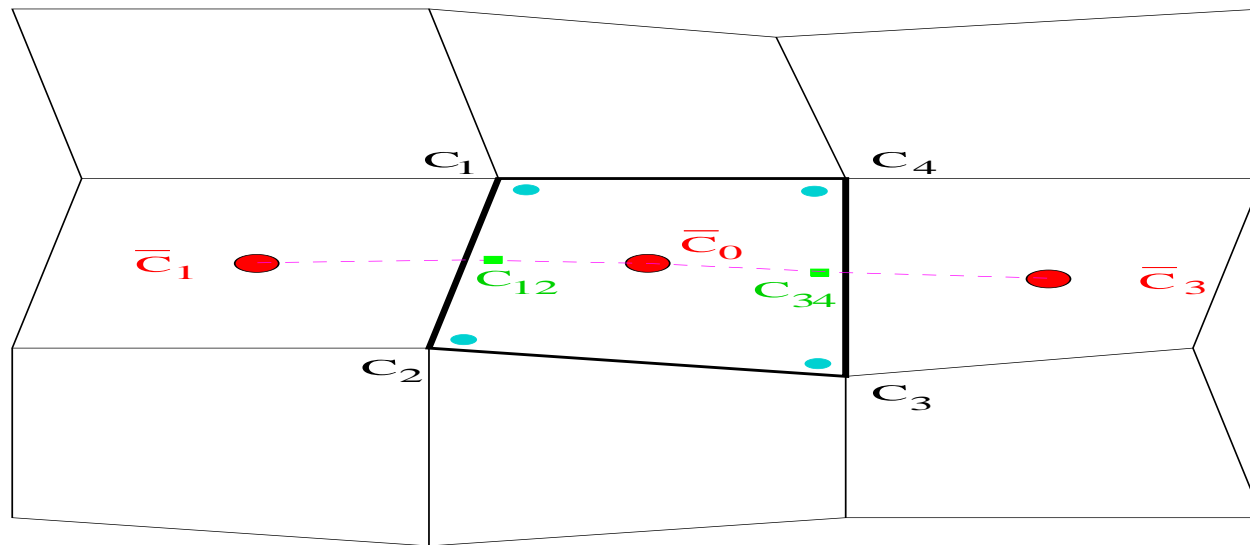
# Limiteur de pente modifié

1. reconstruction de  $C_{1,2}$  et  $C_{3,4}$  dans la direction  $Ox$ .

$$\bar{C}_{K_0} = \frac{1}{2}(C_{1,2} + C_{3,4})$$

$$C_{1,2} = \bar{C}_{K_0} - \mathcal{M} \left( \bar{C}_{K_0} - \tilde{C}_{1,2}, \alpha(\bar{C}_{K_0} - \bar{C}_{K_1}), \alpha(\bar{C}_{K_3} - \bar{C}_{K_0}) \right),$$

$$C_{3,4} = \bar{C}_{K_0} + \mathcal{M} \left( \tilde{C}_{2,3} - \bar{C}_{K_0}, \alpha(\bar{C}_{K_0} - \bar{C}_{K_1}), \alpha(\bar{C}_{K_3} - \bar{C}_{K_0}) \right).$$



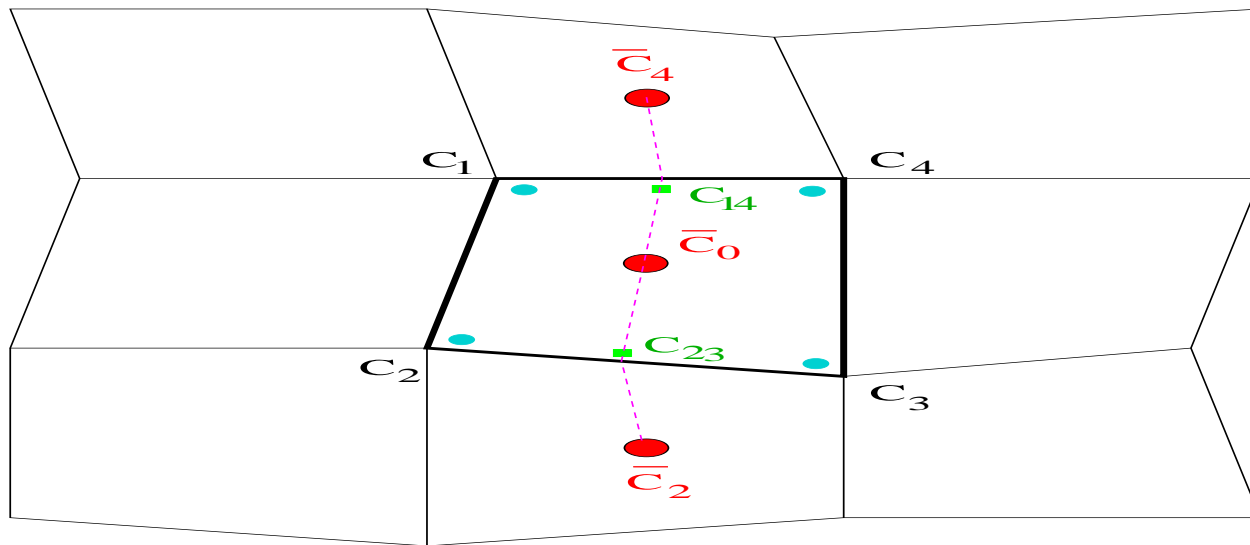
# Limiteur de pente modifié

2. reconstruction de  $C_{2,3}$  et  $C_{4,1}$  dans la direction  $Oy$ .

$$\bar{C}_{K_0} = \frac{1}{2}(C_{2,3} + C_{4,1})$$

$$C_{2,3} = \bar{C}_{K_0} - \mathcal{M} \left( \bar{C}_{K_0} - \tilde{C}_{2,3}, \alpha(\bar{C}_{K_0} - \bar{C}_{K_2}), \alpha(\bar{C}_{K_4} - \bar{C}_{K_0}) \right),$$

$$C_{4,1} = \bar{C}_{K_0} + \mathcal{M} \left( \tilde{C}_{4,1} - \bar{C}_{K_0}, \alpha(\bar{C}_{K_0} - \bar{C}_{K_2}), \alpha(\bar{C}_{K_4} - \bar{C}_{K_0}) \right).$$



# Limiteur de pente modifié

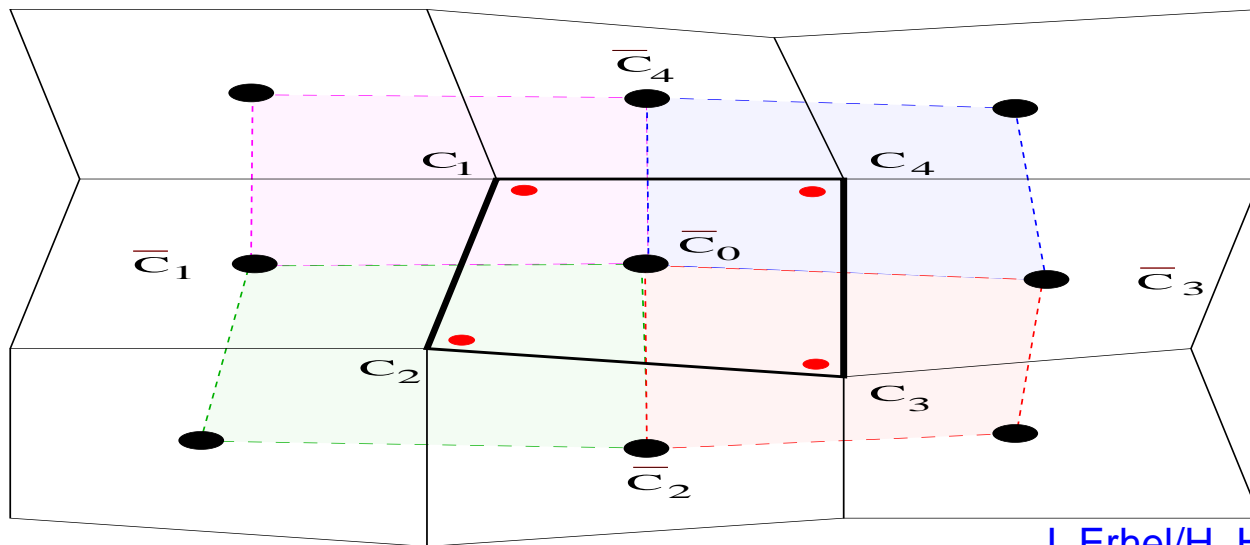
3. reconstruire les concentrations aux sommets.

$$\min_{W \in \mathbb{R}^{\mathcal{N}_K}} \|W - \tilde{C}_K\|_2, \quad \text{satisfaisant les contraintes :}$$

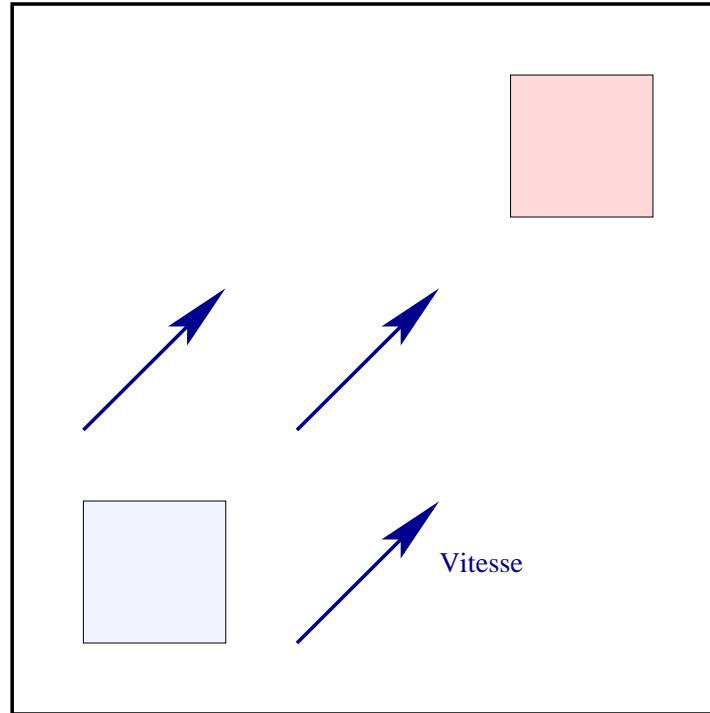
$$\bar{W} = \frac{1}{\mathcal{N}_K} \sum_{j=1}^{\mathcal{N}_K} w_j = \bar{C}_K,$$

$$(1 - \alpha)\bar{C}_K + \alpha\bar{C}_{\min,i} \leq w_i \leq (1 - \alpha)\bar{C}_K + \alpha\bar{C}_{\max,i}, \quad i = 1, \dots, \mathcal{N}_K.$$

$$C_1 + C_2 = 2C_{1,2}, \quad C_2 + C_3 = 2C_{2,3}, \quad C_3 + C_4 = 2C_{3,4}, \quad C_4 + C_1 = 2C_{4,1}.$$

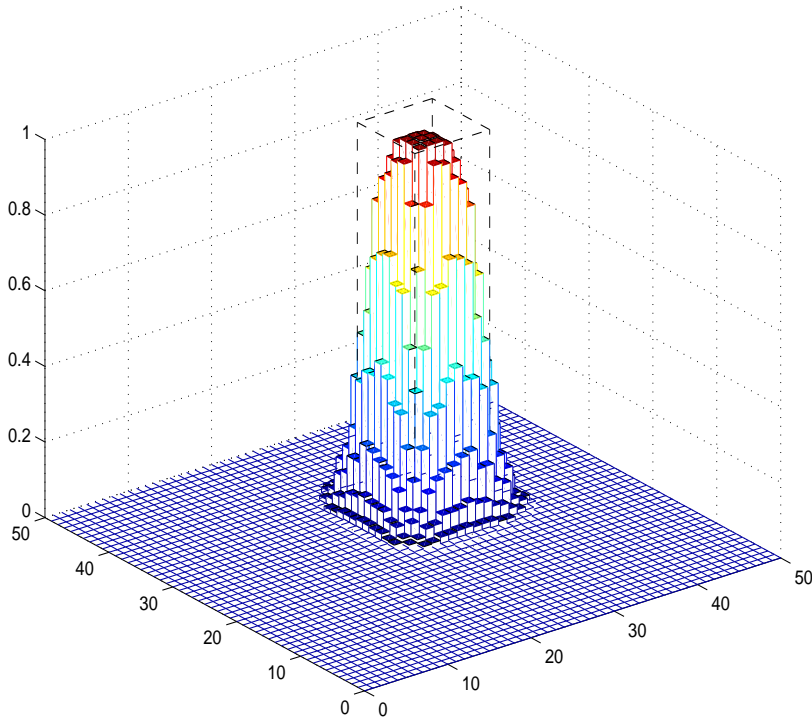


# Expériences numériques

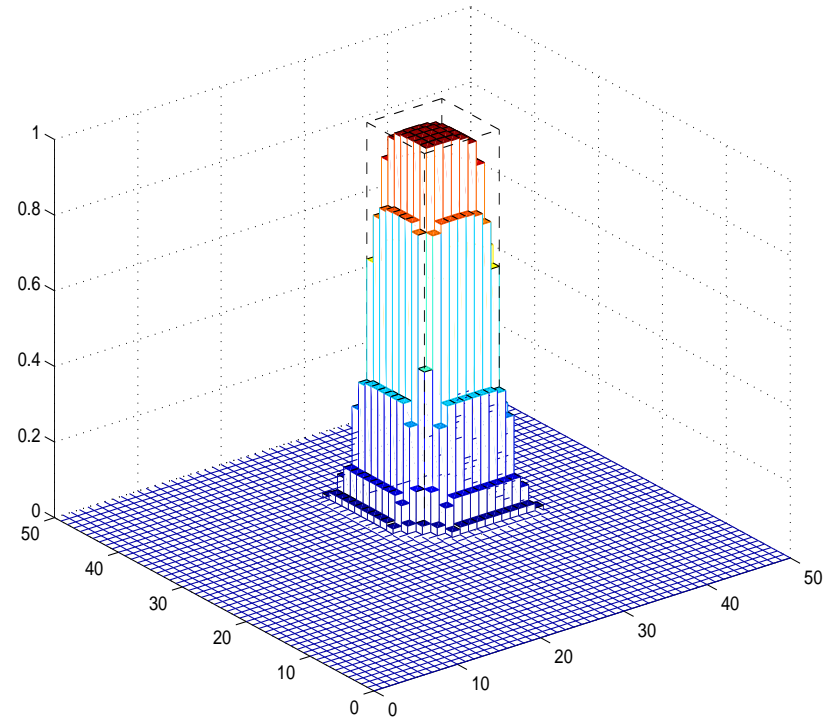


Déplacement d'une surface rectangulaire sur la diagonale avec une vitesse constante (diagonale).

# Expériences numériques



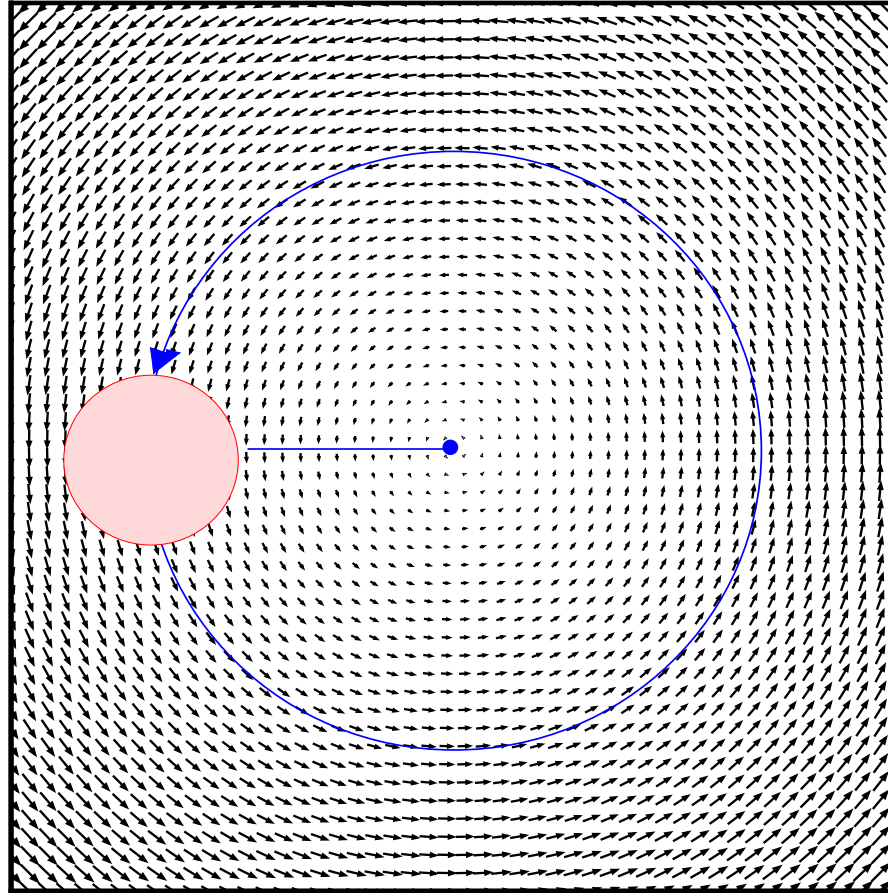
Limiteur non modifié.



Limiteur modifié.



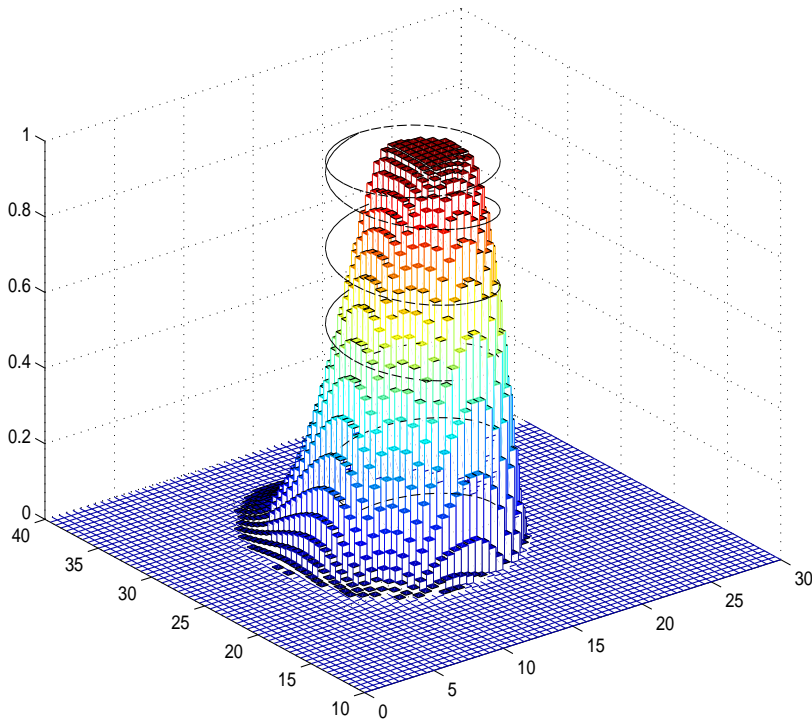
# Expériences numériques



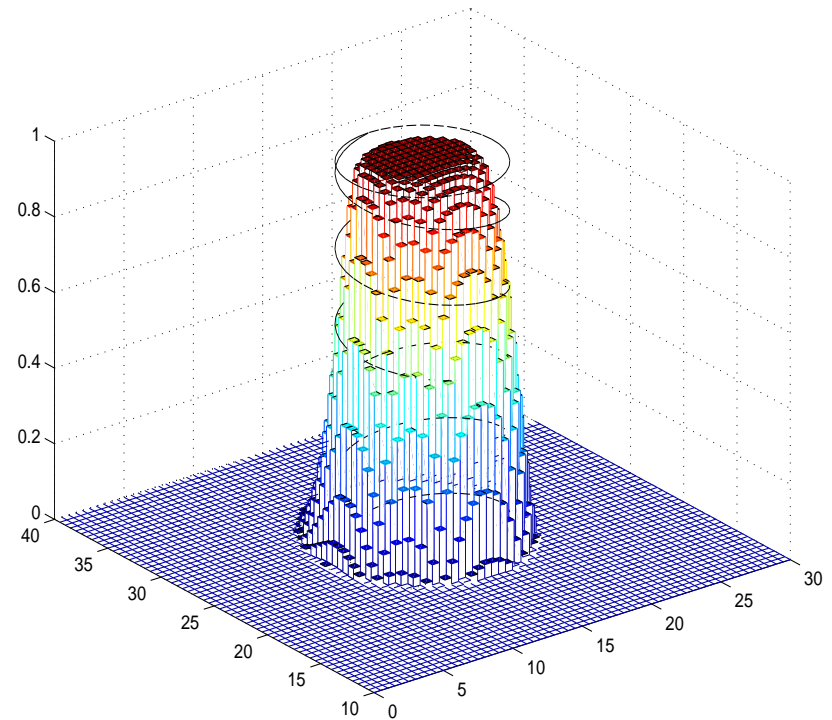
Une surface en mouvement circulaire.

# Expériences numériques

Solutions après 4 rotations.



Limiteur non modifié.



Limiteur modifié.

# Discrétisation de l'opérateur de diffusion

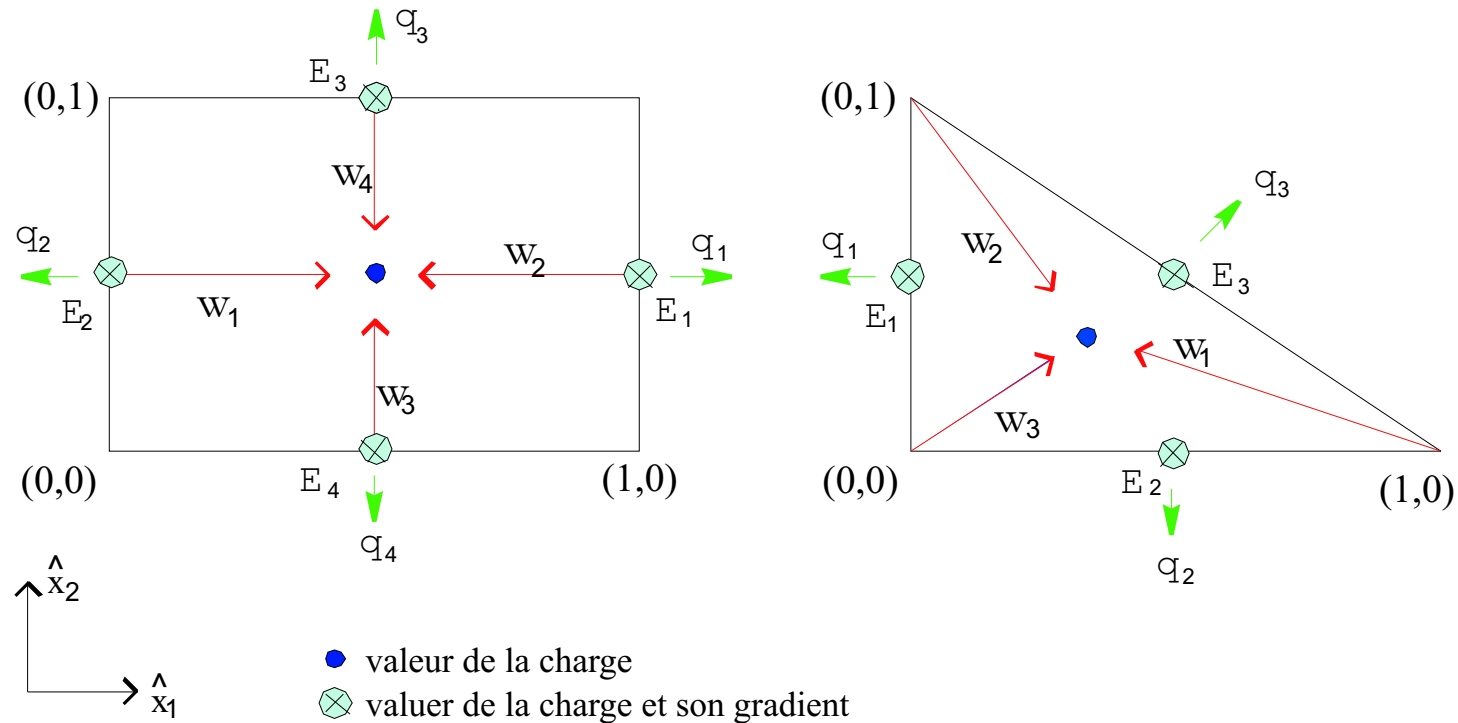
$$\left\{ \begin{array}{ll} \frac{\partial C}{\partial t} + \nabla \cdot u^d = 0 & \text{sur } \Omega \times (t_1, t_2) \\ u^d = -D \cdot \nabla C & \text{sur } \Omega \\ \text{Condition initiale et conditions aux limites} & \end{array} \right.$$

## Éléments finis mixtes

- ▷ la concentration et son gradient sont approchés
- ▷ la masse est conservée localement (sur chaque élément  $K$ )
- ▷ la continuité des flux à travers les facettes
- ▷ les tenseurs pleins sont facilement manipulés

# Éléments finis mixtes hybrides

## Variables nodales sur l'élément de référence



# Discrétisation temporelle

Systeme différentiel

$$\begin{aligned}\frac{dC}{dt} + DC - RT &= F \\ R^T C - MT &= G\end{aligned}$$

$C$  : concentrations moyennes sur chaque élément

$T$  : concentrations moyennes sur chaque côté

Exemple : Euler implicite

$$\begin{aligned}(I + hD)C^{n+1} - hRT^{n+1} &= hF^{n+1} \\ R^T C^{n+1} - MT^{n+1} &= G\end{aligned}$$

# Séparation d'opérateurs

Opérateur de convection discrétisée sur un pas de temps

$$\left\{ \begin{array}{ll} \frac{\partial C}{\partial t} = -\nabla \cdot (Cu) & \text{sur } \Omega \times (t_n, t_{n+1}), \\ C(x, t_n) = C^{conv}(x) & \text{sur } \Omega, \\ \text{Conditions aux limites} & \end{array} \right.$$

Opérateur de dispersion discrétisée sur un pas de temps

$$\left\{ \begin{array}{ll} \frac{\partial C}{\partial t} + \nabla \cdot u^d = 0 & \text{sur } \Omega \times (t_n, t_{n+1}), \\ u^d = -D \cdot \nabla C & \text{sur } \Omega, \\ C(x, t_n) = C^{diff}(x) & \text{sur } \Omega, \\ \text{Conditions aux limites} & \end{array} \right.$$

# Couplage des deux opérateurs

Convection sur  $[t_n, t_{n+1}]$  puis diffusion sur  $[t_n, t_{n+1}]$   
Condition initiale de la diffusion

$$C_K^{diff}(t_n) = \bar{C}_K(t_{n+1})$$

Valeurs en  $t_{n+1}$

$$\bar{C}(t_{n+1}) = C(t_{n+1})$$

$$C_{K,i}(t_{n+1}) = C_{K,i}(t_n) + \Delta t (C_K(t_{n+1}) - C_K(t_n))$$

# Couplage des deux opérateurs

## Convection

$$\begin{aligned}\tilde{C}_K^{n+1} &= C_K^n + \Delta t \mathcal{A}(C_K^{in,n}, C_K^{out,n}), & \forall K \in \mathcal{T}_h. \\ C_K^{n+1} &= \mathcal{L}(\tilde{C}_K^{n+1}), & \forall K \in \mathcal{T}_h.\end{aligned}$$

## Dispersion

$$\begin{aligned}(I + hD)C^{n+1} - hRT^{n+1} &= hF^{n+1} \\ R^T C^{n+1} - MT^{n+1} &= G\end{aligned}$$



# Conclusion

- la séparation d'opérateurs permet des discrétisations différentes de la convection et de la dispersion.
- Le nouveau limiteur reconstruit les concentrations sur chaque élément en utilisant les concentrations moyennes par arête.
- Il limite les flux numériques à travers les interéléments.
- Les expériences numériques montrent une amélioration importante.